

材料力学教程

下册

M. M. 費洛寧柯-鮑羅第契主編

本書系根據蘇聯國立技術理論書籍出版社 (Государственное издательство технико-теоретической литературы) 出版的費洛寧
柯-鮑羅第契 (М. М. Филоненко-Бородич) 主編、費洛寧柯-鮑羅第
契、依柔莫夫 (С. М. Ильинов)、奧利索夫 (В. А. Олисов)、庫特略采
夫 (И. Н. Кудрявцев)、馬里金諾夫 (Л. И. Малыгинов) 合著“材料
力学教程”下册 (Курс Сопротивления Материалов, Часть II) 1956
年修正第四版譯出。原書經蘇聯高等教育部審定為高等学校教科書。

原書分上下兩冊，中譯本上冊分兩分冊出版，下冊為一冊出版。
下冊內容包括弯曲，扭轉和穩定方面的補充材料，彈性理論的簡要敘述，平板，薄壁杆以及彈性系的振動。

本書下册由舊版中譯本原由商務印書館出版，根據新版修訂後改
由本社出版。

材 料 力 学 教 程

下 册

M. M. 費洛寧柯-鮑羅第契主編

陶 學 文 譯

高 等 教 育 出 版 社 出 版 北京宣武門內承恩寺 7 号
(北京市市刊出版業許可證出字第 054 号)

商務印書館上海厂印刷 新華书店發行

第一書名 15010·707 开本 850×1103 1/32 印張 36 10/16
字數 484,000 印數 1—2,500 定價 (10) ￥ 2.50

1954 年 5 月商務初版 (共印 8,000)

1958 年 11 月第 1 刷 1958 年 11 月上海第 1 次印刷

下冊 目錄

第一篇 弯曲理論的补充材料

第一章 直梁弯曲理論的补充材料	1
§ 1. 考虑彈性模曲率的精确值	1
§ 2. 離性綫的精确微分方程在縱弯曲問題中的应用	3
§ 3. 近似微分方程和較精确边界条件的联合应用	6
§ 4. 剪切对彈性綫形狀的影响	8
§ 5. 圖解分析法的应用	12
§ 6. 細杆沿曲綫板的弯曲	15
§ 7. 剪切对縱弯曲时临界荷重值的影响	19
§ 8. 組合杆	21
§ 9. 材料不服从虎克定律的梁的应力状态	24
§ 10. 材料不服从虎克定律的梁的位移	31
§ 11. 剩余应力和剩余变形	37
§ 12. 材料不服从虎克定律的杆的偏心压缩	39
§ 13. 超过比例極限后的縱弯曲	41
第二章 彈性綫微分方程的一般积分方法及其应用	45
§ 14. 彈性綫一般方程. 哥西-克雷洛夫方法	45
§ 15. 縱橫弯曲	49
§ 16. 受縱橫弯曲的梁的計算例	55
§ 17. 連續彈性地基上的梁	61
§ 18. A. H. 克雷洛夫方法	66
§ 19. 彈性地基上有限長梁的算例	78
§ 20. 起始参数法及其推广. 边界参数	79
第三章 曲梁弯曲理論的补充材料	85
§ 21. 曲梁的微分关系式	85
§ 22. 曲梁弯曲的微分方程	88
§ 23. 承受内外均布压力的厚壁圓筒	90
§ 24. 組合圓筒內的应力. 厚壁圓筒的溫度应力	90

第一篇 弯曲理論的补充材料

第一章 直梁弯曲理論的补充材料

§ 1. 考慮彈性綫曲率的精确值

为了得到受弯直梁的彈性綫微分方程，在本書上册第六和十四章中，在关系式

$$\frac{1}{\rho} = \pm \frac{M}{EJ} \quad (1.1)$$

中，曲率用它的近似值 $\frac{1}{\rho} = \frac{d^2v}{dx^2}$ 代替，这在横向弯曲情形的彈性綫形狀上只引起極微小的誤差，所以不必用更精确的方程

$$\frac{\frac{d^2v}{dx^2}}{\left[1 + \left(\frac{dv}{dx}\right)^2\right]^{\frac{3}{2}}} = \pm \frac{M}{EJ} \quad (1.2)$$

为了对于根据近似方程(1.1)所作計算的精确度有一个概念，我們拿如下的簡單例子来比較方程(1.2)与(1.1)所給出的結果。

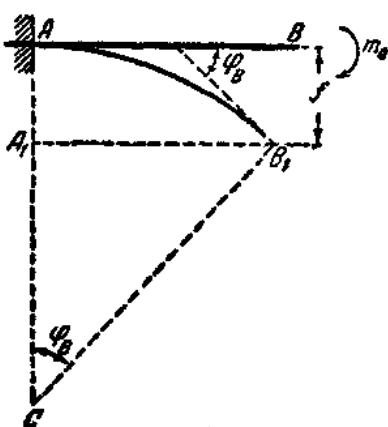
一悬臂梁(圖1)，受加在另一端的力偶 m_0 而弯曲。梁的剛度 EJ 是常数。

作精确解时，由方程(1.1)得：

$$\frac{1}{\rho} = + \frac{M}{EJ} = + \frac{-m_0}{EJ} = - \frac{m_0}{EJ} = \text{常数},$$

即悬臂梁弯成半徑为 $\rho = \frac{EJ}{M}$ 的圓弧，凹面向下，因为 $\frac{1}{\rho} < 0$ 。

右端 B 的梁軸切綫傾角等于(圖1)：



■ 1.

或

$$\varphi_B = \frac{\widehat{AB}_1}{\rho} = \frac{l}{\rho},$$

$$\varphi_B = \frac{m_0 l}{E J}. \quad (1.8)$$

此右端的挠度

$$f = AC - A_1 C = \rho(1 - \cos \varphi_B)$$

或把 $\cos \varphi_B$ 展成級數

$$\cos \varphi_B = 1 - \frac{\varphi_B^2}{2!} + \frac{\varphi_B^4}{4!} - \dots,$$

得：

$$f = \rho \left(\frac{\varphi_B^2}{2!} - \frac{\varphi_B^4}{4!} + \dots \right) = \frac{l}{\varphi_B} \left(\frac{\varphi_B^2}{2!} - \frac{\varphi_B^4}{4!} + \dots \right) = l \left(\frac{\varphi_B}{2!} - \frac{\varphi_B^3}{4!} + \dots \right).$$

将公式(1.3)中的 φ_B 代入上式, 最后求出:

$$f = l \left[\frac{1}{2} \left(\frac{m_0 l}{E J} \right) - \frac{1}{24} \left(\frac{m_0 l}{E J} \right)^3 + \dots \right] = \frac{1}{2} \frac{m_0 l^2}{E J} - \frac{m_0^3 l^4}{24(E J)^3} + \dots \quad (1.4)$$

现用近似方程, 得:

$$v'' = - \frac{m_0}{E J} = \frac{m_0}{E J}.$$

积分之, 并从条件 $x=0$ 时 $v=v'=0$, 求出积分常数, 得:

$$v = \frac{m_0 x^2}{2 E J}.$$

在右端:

$$v_B = f_1 = \frac{m_0 l^2}{2 E J}.$$

这结果和精确结果(1.4)之差近似等于:

$$f - f_1 = - \frac{m_0^3 l^4}{24(E J)^3},$$

或用对于挠度 f_1 的百分数表示:

$$\Delta = 100 \frac{f - f_1}{f_1} = - \frac{100}{12} \left(\frac{m_0 l}{E J} \right)^2 = - \frac{100}{3l^2} \left(\frac{m_0 l^2}{2 E J} \right)^2 = - 33.3 \left(\frac{f_1}{l} \right)^2.$$

如果取挠度为 $\frac{1}{500} l$, 那么

$$\frac{f_1}{l} = \frac{1}{500},$$

而 $\Delta = -33.3 \times \frac{1}{250000} = 0.00013\%$,

即誤差根本是微不足道的。

研究極細杆件可能發生的彈性大变形时, 必須用方程(1.2); 欧拉詳細地研究了这一理論^①; 它在現代已应用于仪器和机器中柔細零件的計算^②。

§ 2. 弹性線的精确微分方程在樑弯曲問題中的应用 .

現用方程(1.1)研究一端固定的杆的縱弯曲(圖 2)来作为例子, 引用曲率的精确式

$$\frac{1}{\rho} = \frac{d\varphi}{ds}.$$

于是得到:

$$\frac{d\varphi}{ds} = \frac{M}{EI} = -\frac{Pv}{EI} = -a^2 v,$$

其中 $a^2 = \frac{P}{EI}$,

或者, 微分得到

$$\frac{d^2\varphi}{ds^2} = -a^2 \frac{dv}{ds} = -a^2 \sin \varphi.$$

这是一个微分方程, 其中待求函数 $\varphi(s)$ 是 Ox 軸的切线倾角。二边乘以恒

等式

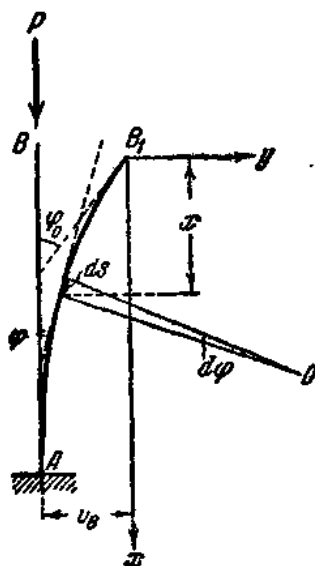


圖 2.

^① 參見 И. Эйхер, Метод нахождения кривых линий, ГГТИ,莫斯科, 1934, 南第 I, 关于彈性線。

^② 例如, 參見 Е. Н. Попов, Теория и расчёт гибких упругих деталей, 荣膺紅旗勋章的列寧格勒空軍工程學院出版, 列寧格勒, 1947。

$$\frac{d\varphi}{ds} ds = d\varphi,$$

得: $\frac{d^2\varphi}{ds^2} \frac{d\varphi}{ds} ds = -a^2 \sin \varphi d\varphi,$

或 $d \frac{1}{2} \left(\frac{d\varphi}{ds} \right)^2 = a^2 d \cos \varphi.$

积分之得: $\frac{1}{2} \left(\frac{d\varphi}{ds} \right)^2 = a^2 (\cos \varphi - \cos \varphi_0),$

其中 φ_0 是任意常数, 等于坐标原点处的切线倾角(图 2)。我們有:

$$\frac{1}{2} \frac{d\varphi}{ds} = +a \sqrt{\cos \varphi - \cos \varphi_0} = a \sqrt{2} \sqrt{\sin^2 \frac{\varphi_0}{2} - \sin^2 \frac{\varphi}{2}} \quad (1.5)$$

或

$$\frac{d\varphi}{2 \sqrt{\sin^2 \frac{\varphi_0}{2} - \sin^2 \frac{\varphi}{2}}} = a ds, \quad (1.6)$$

引用記号 $\sin \frac{\varphi_0}{2} = p$, 并按公式

$$\sin \frac{\varphi}{2} = p \sin \theta, \quad (1.7)$$

用函数 θ 代替函数 $\varphi(s)$, 使当 $\varphi=0$ 时, $\theta=0$, 当 $\varphi=\varphi_0$ 时, $\theta=\frac{\pi}{2}$ 。

从(1.7)有:

$$\sqrt{\sin^2 \frac{\varphi_0}{2} - \sin^2 \frac{\varphi}{2}} = p \sqrt{1 - \sin^2 \theta} = p \cos \theta;$$

$$\cos \frac{\varphi}{2} = \sqrt{1 - p^2 \sin^2 \theta}; \quad \frac{1}{2} \cos \frac{\varphi}{2} d\varphi = p \cos \theta d\theta$$

或 $d\varphi \sqrt{1 - p^2 \sin^2 \theta} = 2p \cos \theta d\theta,$

由此 $d\varphi = \frac{2p \cos \theta d\theta}{\sqrt{1 - p^2 \sin^2 \theta}}$

把所有这些代入方程(1.6), 把它改写成:

$$\frac{d\theta}{\sqrt{1 - p^2 \sin^2 \theta}} = a ds. \quad (1.8)$$

我們只限于找 B 端挠度，并注意到，

当 $s=0$ 时， $\theta=0$ (在 A 点)；

当 $s=l$ 时， $\theta=\frac{\pi}{2}$ 。

所以，沿杆的全长积分(从 $s=0$ 到 $s=l$)，得：

$$\int_0^{\frac{\pi}{2}} \frac{d\theta}{\sqrt{1-p^2 \sin^2 \theta}} = al. \quad (1.9)$$

左边是第一种全椭圆积分，是参数 $p=\sin \frac{\varphi_0}{2}$ 的函数；其数值可由有关的椭圆积分表中求得。

为了求 B 端挠度，用关系式

$$dv = \sin \varphi = 2 \sin \frac{\varphi}{2} \cos \frac{\varphi}{2} = 2 \sin \frac{\varphi}{2} \sqrt{1 - \sin^2 \frac{\varphi}{2}}$$

或按照(1.7)和(1.8)，

$$dv = -\frac{2p \sin \theta \sqrt{1-p^2 \sin^2 \theta}}{a \sqrt{1-p^2 \sin^2 \theta}} d\theta,$$

即
$$dv = -\frac{2p}{a} \sin \theta d\theta.$$

这式子沿杆長从 B 点积分到 A 点，得：

$$0 - v_B = -\frac{2p}{a} \int_{\frac{\pi}{2}}^0 \sin \theta d\theta = \frac{2p}{a},$$

即

$$v_B = -\frac{2p}{a}. \quad (1.10)$$

采取如下計算步驟較方便：定下杆端傾角 φ_0 ，求得參數 $p=\sin \frac{\varphi_0}{2}$ ，然后求出(1.9)中的积分值；由此得到量 $a=\sqrt{\frac{P}{EJ}}$ ；用這方法求得對應的荷重 P ，其次按(1.10)計算撓度 v_B 。

我們看到，在上面的解答中不仅用了曲率的精确式，而且还考慮到較精确的边界条件；只略去了縱向壓縮引起的杆的縮短。

§ 3. 近似微分方程和較精确边界条件的联合应用

公式(1.9)给出荷重的临界值;求临界值时,只需令 $\varphi_0=0$, 即研究杆的上端偏离等于零的情形;此时

$$p = \sin \frac{\varphi_0}{2} = 0,$$

而由公式(1.9)得到:

$$\int_0^{\frac{\pi}{2}} d\theta = al = \frac{\pi}{2}; \quad a = \frac{\pi}{2l}; \quad a^2 = \frac{P}{EI} = \frac{\pi^2}{4l^2},$$

$$P_k = \frac{\pi^2 EI}{4l^2}.$$

由此可见,当我们应用近似微分方程

$$v'' + a^2 v = 0 \quad (1.11)$$

时,所确定的临界荷重是精确的;但近似解的缺点还是有的,这就是有一个任意积分常数 C_1 不能确定,因此不可能求得荷重超过临界值时的杆件挠曲形式。现在我们要证明,实际这并非因为微分方程是近似的,而是因为如下的固定端边界条件

$$\text{当 } x=l, \quad v'=0 \quad (1.12)$$

是不精确的;这个条件如果写得比较精确,应该是

$$\text{当 } x=l-\Delta, \quad v'=0, \quad (1.13)$$

式中 Δ 是杆弯曲时的自由端下降距离。 Δ 值可近似算出。利用已得到的弹性线方程:

$$v = C_1 \sin ax. \quad (1.14)$$

杆的上端的下降距离是

$$\Delta = \int_0^l (ds - dx) = \int_0^l (\sqrt{1+v'^2} - 1) dx.$$

如果弯曲很少,因此 v' 很小,可以近似地写出:

$$\sqrt{1+v'^2} \approx 1 + \frac{v'^2}{2};$$

把它代进上面的公式,得到:

$$\Delta = \frac{1}{2} \int_0^l v'^2 dx.$$

代进由(1.14)求出的 v' 值

$$v' = C_1 a \cos ax,$$

并作积分,就得到:

$$A = C_1^2 k,$$

式中

$$k = \frac{a(2al + \sin 2al)}{8}; \quad (1.15)$$

现在, 杆的固定端条件 (1.13) 得到下面的形式:

$$C_1 a \cos[a(l - C_1^2 k)] = 0.$$

这个等式可分离成三个式子:

$$\left. \begin{aligned} C_1 &= 0; \\ a &= 0; \\ \cos[a(l - C_1^2 k)] &= 0. \end{aligned} \right\} \quad (1.16)$$

前两个式子给出无解 ($a=0$ 和 $P=0$), 第三个式子则是确定 C_1 的条件。取这个超越方程的最小正根

$$a(l - C_1^2 k) = \frac{\pi}{2}. \quad (1.17)$$

由此看出 C_1 不再是不确定的:

$$C_1 = \pm \sqrt{l \left(1 - \frac{\pi}{2al}\right) \frac{1}{k}}. \quad (1.18)$$

顺便指出, 如果在方程 (1.16) 中令 $C_1=0$, 该方程即成为求临界荷重的普通条件 $\cos al = 0$; 此时杆仍是直的, 这已经在本章上册第十四章 § 141 中作过说明。

根据公式 (1.15) 计算 k 时, 因为我们只研究荷重超过临界值很少的情形, 故可近似地令

$$2al \approx \pi; \quad \sin 2al \approx 0,$$

因此 $al = \frac{\pi}{2}$; 于是由 (1.15) 得到:

所以,

$$k = \frac{a\pi}{8},$$

$$C_1 = \pm \sqrt{l \left(1 - \frac{\pi}{2al}\right) \frac{8}{a\pi}}. \quad (1.19)$$

如果进一步考虑到:

$$a^2 = \frac{P}{EI} = \frac{P}{E_k} \cdot \frac{\pi^2}{4l^2}; \quad a = \frac{\pi}{2l} \sqrt{\frac{P}{E_k}};$$

$$\frac{\pi}{2al} = \sqrt{\frac{P_k}{P}}; \quad \frac{8}{a\pi} = \frac{16l}{\pi^2} \sqrt{\frac{P_k}{P}},$$

并且把所有这些都代入公式 (1.19), 最后就得到:

$$C_1 = \pm \frac{4l}{\pi} \sqrt{\left(1 - \sqrt{\frac{P_k}{P}}\right) \sqrt{\frac{P_k}{P}}}. \quad (1.20)$$

把这 C_1 值代进弹性綫方程(1.14), 得到弹性綫方程的最終形式为

$$v = \pm \frac{4l}{\pi} \sqrt{\left(1 - \sqrt{\frac{P_n}{P}}\right)} \sqrt{\frac{P_n}{P}} \cdot \sin \left(\frac{\pi x}{2l} \sqrt{\frac{P}{P_n}}\right). \quad (1.21)$$

我們要指出, 按照(1.20), 只有在 $P \approx P_n$ 的情形 C_1 值才是实数; 当 $P < P_n$ 时, C_1 是虚数, 弹性綫方程(1.21)沒有意义; 在后一情形下, 只有無義解 $C_1 = 0$ 仍然有效, 这就是說杆仍然是直的, 杆的直綫位置是稳定的。量(1.20)是杆的自由端挠度; 但由此算得的挠度值比前面所引的精确解小得多。

由上述一切, 可作結論如下: 縱弯曲問題的近似解能正确地确定临界荷重, 如果用精确的边界条件, 还能把二个任意积分常数都求出来; 荷重超过临界值时的弹性綫, 則因为微分方程(1.11)的近似而是不精确的。

§ 4. 剪切对弹性綫形状的影响

(一) 在梁的横向弯曲情形下, 由于所得誤差微不足道, 沒有道理要

引用曲率的精确值来求弹性綫。在某些情形下, 剪切倒可能有相当大的影响, 这是在本書上册的彈性綫理論中沒有考虑过的。

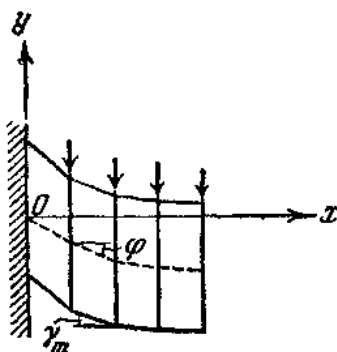


圖 3.

現在來估計这种影响, 并指出在什么情形下必須考慮它。首先我們可以証实, 梁在只有剪力所引起的剪变形时, 弯曲是可能的。为了使討論简化, 暫時假定横断面內的剪应力是均匀分布的; 按照剪切虎克定律, 此时剪变形沿断面高度也應該均匀分布, 而断面不应翹曲(圖 3)。于是, 显然可写出

$$\tau_m = \frac{Q}{I'}, \quad (1.22)$$

$$\gamma_m = \frac{\tau_m}{G} = \frac{Q}{G I'}, \quad (1.23)$$

其中 I' 是梁的横断面面积, G 是剪切弹性系数。

公式(1.22)给出某断面内剪应力的平均值, 公式(1.23)给出剪变形平均值。

如果各断面剪力不同, 那么对应的平均剪变形 γ_m 也就不同, 于是, 正如从图3所看到的, 梁发生弯曲, 而梁轴切线倾角等于 γ_m :

$$\frac{dv_1}{dx} = \operatorname{tg} \varphi = \gamma_m = -\frac{Q}{GF}.$$

这里取负号, 因 $\frac{dv_1}{dx} < 0$; $Q > 0$; v_1 是由剪变形引起的挠度。

把最后等式的二边都对 x 微分, 得到剪切影响引起的轴线曲率的近似值:

$$\frac{d^2v_1}{dx^2} = -\frac{1}{GF} \cdot \frac{dQ}{dx}. \quad (1.24)$$

弹性理论中所阐明的较精确的问题解证明, 值(1.24)稍微小了一些。为了安全地估计剪变形对轴线弯曲的影响, 我们在计算中不用平均剪应力(1.22), 而用中性层的剪应力, 这是最大的或接近于最大的剪应力:

$$\tau = \frac{QS}{Jb} = \frac{Q}{Fa}, \quad (1.25)$$

其中

$$a = \frac{Jb}{FS}. \quad (1.26)$$

系数 a 决定于断面形状; S 和 b 是断面中性轴处的值。把(1.22)用(1.25)代替, 得到的就不是(1.24)而是:

$$\frac{d^2v_1}{dx^2} = -\frac{1}{GFa} \frac{dQ}{dx}. \quad (1.27)$$

把按公式(1.27)的曲率值和弯矩引起的曲率相加, 得到考虑剪切影响的弹性线微分方程是:

$$\frac{d^2v}{dx^2} = \frac{M}{EJ} - \frac{1}{GFa} \frac{dQ}{dx} \quad (1.28)$$

或

$$\frac{d^2v}{dx^2} = \frac{1}{EJ} \left(M - \beta^2 \frac{dQ}{dx} \right), \quad (1.29)$$

其中

$$\beta^2 = \frac{EJ}{G F \alpha} = \frac{ES}{Gb} = 2(1+\mu) \frac{S}{b} = \frac{2(1+\mu)}{\alpha} i^2; \quad (1.30)$$

这里的 μ 是波桑系数, i 是断面的惯性半径。

但因为

$$\frac{dQ}{dx} = -q,$$

所以有:

$$\frac{d^2v}{dx^2} = \frac{1}{EJ} (M + \beta^2 q). \quad (1.31)$$

括弧中考虑剪切对弯曲的影响的附加项 $\beta^2 q$, 和第一项 M 相比较, 对于断面高度比起梁長度很小而断而在中性層的寬度又不太小的梁, 是極其微小的。

例如, 对于矩形断面 $h \times b$, 按 (1.30) 求得:

$$\beta^2 = \frac{bh}{2} \cdot \frac{h}{4} \cdot \frac{1}{b} 2(1+\mu) = (1+\mu) \frac{h^2}{4};$$

对于直徑为 d 的圓断面, 得:

$$S = Fy_c = \frac{\pi d^2}{8} \cdot \frac{2}{3} \frac{d}{\pi} = \frac{d^3}{12};$$

$$\beta^2 = 2(1+\mu) \frac{d^3}{12} \frac{1}{d} = (1+\mu) \frac{d^2}{6}.$$

(二) 对于均布荷重 q 作用下的簡單梁, 在矩形断面情形有:

$$M = \frac{qx(l-x)}{2},$$

$$\frac{d^2v}{dx^2} = \frac{q}{4EJ} [2x(l-x) + (1+\mu)h^2].$$

引用無因次横标

$$\xi = \frac{x}{l},$$

将有: $\frac{dv}{dx} = \frac{dv}{d\xi} \cdot \frac{1}{l}; \quad \frac{d^2v}{dx^2} = \frac{d^2v}{d\xi^2} \cdot \frac{1}{l^2},$

把上面的微分方程写成:

$$\frac{d^2v}{d\xi^2} = \frac{ql^4}{4EJ} \left[2\xi(1-\xi) + (1+\mu)\left(\frac{h}{l}\right)^2 \right].$$

把这方程积分，根据边界条件：当 $\xi=0$ 和 $\xi=1$ 时， $v=0$ ，确定任意常数，得：

$$v = -\frac{ql^4}{24EJ} \left[\xi^4 - 2\xi^3 + \xi + 8(1+\mu)\left(\frac{h}{l}\right)^2 \xi(1-\xi) \right].$$

令 $\xi=\frac{1}{2}$ ，得到跨中点的最大挠度：

$$f = -\frac{5ql^4}{384EJ} \left[1 + \frac{12}{5}(1+\mu)\left(\frac{h}{l}\right)^2 \right].$$

方括弧中第二项考虑剪切影响；例如，令 $\mu=\frac{1}{3}$ ，我們求得当 $\frac{h}{l}=\frac{1}{10}$ 时，第二项的值等于 0.032，剪切影响不大；当 $\frac{h}{l}=\frac{1}{5}$ 时，已得 0.128，即剪切影响使跨中点挠度約增大 13%。

(三) 在薄壁断面情形下，剪切对挠度的影响将是巨大的。用 h 表示断面高度，按(1.30)有：

$$\beta^2 = 2(1+\mu) \frac{S}{b} = 2(1+\mu) \frac{S}{bh^3} h^2.$$

对于苏联現行工字形断面标准規格(TOCT 10016—39)：

对于 № 10

$$\beta^2 = 2(1+\mu) \frac{27.92h^2}{0.45 \times 10^2} = 1.24(1+\mu)h^2;$$

对于 № 60

$$\beta^2 = 2(1+\mu) \frac{1800h^2}{1.7 \times 60^2} = 0.58(1+\mu)h^2;$$

而我們在上面已得到：对于圓断面

$$\beta^2 = 0.17(1+\mu)h^2,$$

对于矩形断面 $\beta^2 = 0.25(1+\mu)h^2$ 。

可見，在工字形断面的情形下，剪切影响相当大，特別是小号碼的型鋼；例如，和矩形断面比較系数 β ：

对于工 № 10, 是 $\frac{1.24}{0.25} = 5$ 倍,

对于工 № 60, 是 $\frac{0.58}{0.25} = 2.3$ 倍。

§ 5. 圖解分析法的应用

考慮剪切影响而研究梁的弯曲时,極便于应用圖解分析法;为了考慮剪变形,我們从(1.31)看到,只需在 M 圖所表示的假想荷重上,添加和給定的連續荷重成比例的荷重 $\beta^2 q$ 。如果梁上有集中荷重,把这些荷重暂时設想分布在極微小段 Δc 上的連續荷重;把它們乘上 β^2 后,添加在假想荷重上;然后取当 $\Delta c \rightarrow 0$ 时的極限,我們求得在假想荷重上應該直接添加集中荷重,但每一个都乘以 β^2 。

假想荷重中有集中荷重时,这荷重下的假想剪力 Q 将有突变,而实

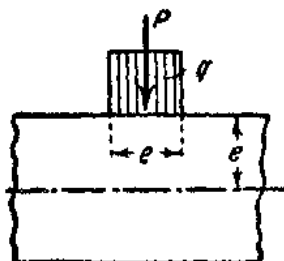


图 4.

际梁的彈性綫在对应的地方就折断了;这就表明此地所用近似方法稍安全地考虑了集中荷重的影响,它們影响的真正值將略小些,因为实际上彈性綫是不会折断的。这样会較正确些:把每一集中荷重用分布在,例如說,長度为 e 的一段上, e 等于梁軸到加力点的距离(圖 4),于是荷重 q 將等于:

$$q = \frac{P}{e}.$$

應該再一次提起注意,上面所作計算稍微把剪切对梁軸弯曲的影响放大了些,因为我們在公式 (1.27) 中用了每一斷面的剪变形的最大值。而一般的說,本节所述考慮剪切对梁变形影响的方法是相当粗糙的,这是由于上面所說明的公式 (1.26) 中 α 系数的数值的不确定性。在上册第十七章 § 158 中曾指出 α 系数的另一个較精确求法。

例 1. 一悬臂梁,左端固定,受强度为 q 的均布荷重(圖 5, a),試写出彈性綫

方程，并求最大挠度 f 。

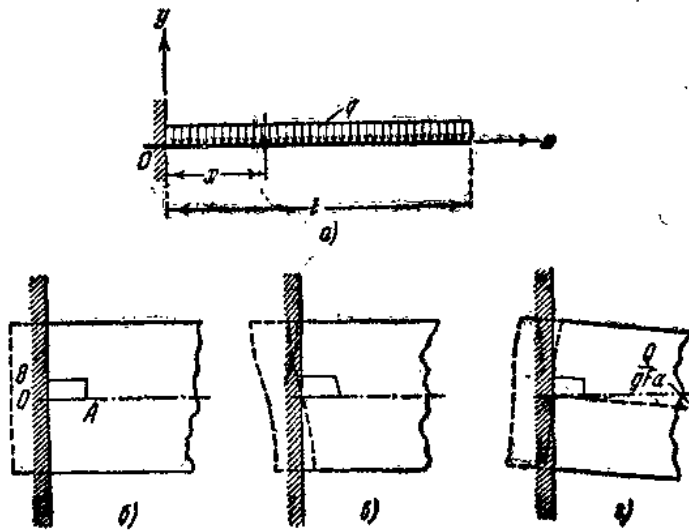


图 5.

弹性线微分方程的形式是：

$$EJv'' = M + \beta^2 q = -\frac{q(l-x)^2}{2} + \beta^2 q,$$

积分二次得： $EJv' = -\frac{q(l-x)^3}{6} + \beta^2 qx + C,$

$$EJv = -\frac{q(l-x)^4}{24} + \beta^2 q \frac{x^2}{2} + Cx + D.$$

为了确定任意常数 C 和 D ，引进边界条件。

第一个条件，当 $x=0$ 时 $v=0$ ，表示悬臂梁左端有支点；这个条件和以前不考虑剪切对弹性线的影响时的条件是相同的。第二个条件表明左端夹住，这个条件当考虑剪切影响时是不确定的；实际情况如下：假定我们研究梁轴线在支点处的矩形单元体（图 5, 6），那末，因为单元体在梁弯曲时发生歪斜变形，就可能有不同方法夹住此单元体。例如，假定用普通的条件：当 $x=0$ 时 $v'=0$ ，就是夹住了水平线元素 OA ，但横断面上的元素 OB 则因断面弯曲而发生转动（图 5, c）；假定我们希望夹住横断面上的元素 OB ，那末弹性线在支点 O 处的倾角就等于该点的剪切角

$-\frac{Q}{GJ\alpha}$ ；此时，左端条件写成为：

$$\text{当 } x=0, v' = -\frac{q}{GF\alpha} = -\frac{ql}{GF\alpha}$$

或 $EJv' = -\frac{EJ}{GF\alpha} ql = -\beta^2 ql;$

下面我們把这情形算完。

在边界条件中代进 v 和 v' 值, 得到:

$$D = \frac{ql^4}{24} \quad \text{和} \quad C = -\frac{ql^3}{6} - \beta^2 ql,$$

而彈性線方程的最終形式是:

$$v = \frac{1}{EJ} \left[-\frac{q(l-x)^4}{24} - \frac{ql^3}{6}x + \frac{ql^4}{24} + \frac{\beta^2 qx^2}{2} - \beta^2 qlx \right] = \\ = -\frac{ql^4}{8EJ} \left\{ \frac{1}{3} \left(1 - \frac{x}{l} \right)^4 + \frac{4}{3} \left(\frac{x}{l} \right) - \frac{1}{3} - \frac{4\beta^2}{l^2} \left[\left(\frac{x}{l} \right)^2 - 2 \left(\frac{x}{l} \right) \right] \right\}.$$

在圖 5, e 所示情形, 第二个边界条件是:

$$\text{当 } x=0 \text{ 时 } v'=0, \text{ 即 } 0 = -\frac{ql^3}{6} + C = 0; \quad C = \frac{ql^3}{6}.$$

这二情形的挠度請讀者自行求出。在这二种夾住情形下, 虽然彈性線不相同, 应力分布則还是完全一样的, 因为左端夾住情况只有运动学的性质; 前一情形与后一情形的关系就是差一个悬臂梁作为絕對剛体的轉動。第五章 § 29 中, 对这种情况將作較詳細的和一般形式的研究; 在第六章 § 33 中, 用彈性力学方法对梁的純弯曲問題作比較一般性的討論时, 也將遇見这种情况。

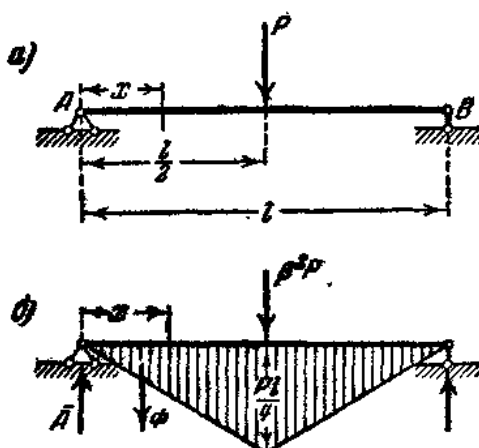


圖 6.

例 2. 一梁 (圖 6, a), 跨中点受力 P , 試写出彈性線方程, 并求最大挠度 f 。

由于彈性線的对称, 只須写出左半部 ($x \leq \frac{l}{2}$) 的彈性線方程。用圖解分析法, 帶有对应的荷重的假想梁, 示如圖 6, b.

先求左端假想反力:

$$\bar{A} = \frac{1}{2} \frac{Pl}{4} \frac{l}{2} + \frac{\beta^2 P}{2} = \\ = \frac{Pl^2}{16} + \frac{P\beta^2}{2}.$$

点 x 的挠度: